



Corso di Robotica 1

Cinematica differenziale

Prof. Alessandro De Luca

DIPARTIMENTO DI INFORMATICA
E SISTEMISTICA ANTONIO RUBERTI



SAPIENZA
UNIVERSITÀ DI ROMA

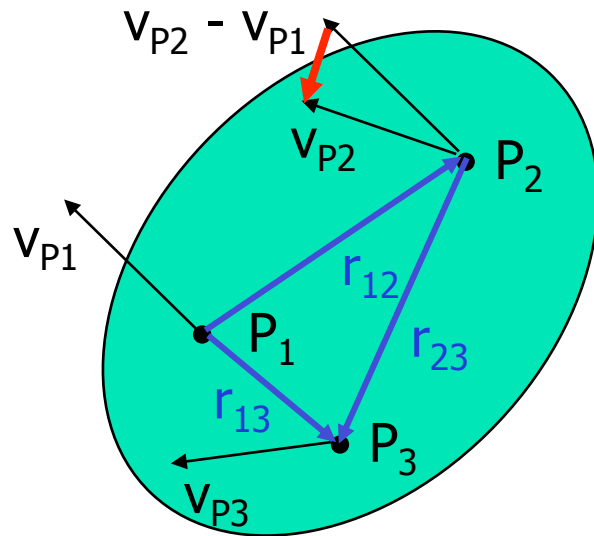


Cinematica differenziale

- “studio dei legami tra moto (velocità) nello spazio dei giunti e moto (velocità lineare e angolare) nello spazio operativo (cartesiano)”
- i legami tra velocità possono essere ricavati direttamente o passando attraverso la derivata nel tempo della funzione cinematica diretta
 - stabilire il legame tra **velocità angolare** e
 - **derivata** temporale della **matrice di rotazione**
 - **derivata** temporale dei parametri di una **rappresentazione minima dell'orientamento**



Velocità angolare di un corpo rigido



vincolo "rigido" di distanza tra punti:
 $\|r\| = \text{costante}$

→ $v_{P_i} - v_{P_j}$ ortogonale ad r_{ij}

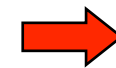
1 $v_{P_2} - v_{P_1} = \omega_1 \times r_{12}$

2 $v_{P_3} - v_{P_1} = \omega_1 \times r_{13}$

3 $v_{P_3} - v_{P_2} = \omega_2 \times r_{23}$

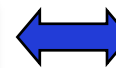
$\forall P_1, P_2, P_3$

2 - 1 = 3



$\omega_1 = \omega_2 = \omega$

$v_{P_j} = v_{P_i} + \omega \times r_{ij} = v_{P_i} + S(\omega) r_{ij}$

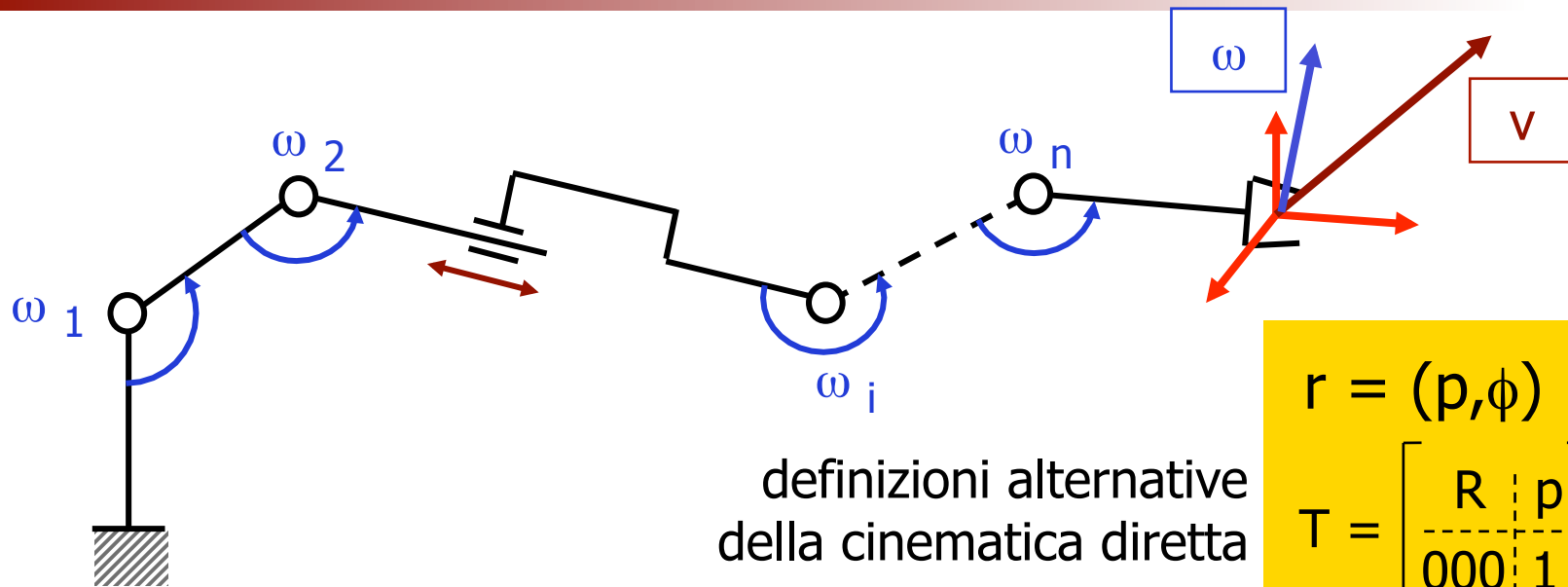


$\dot{r}_{ij} = \omega \times r_{ij}$

- la velocità angolare ω è associata all'intero corpo (non a singoli punti)
- se $\exists P_1$ con $v_{P_1} = 0$: moto rotatorio puro (traiettorie circolari di tutti i punti)
- $\omega = 0$: moto traslatorio puro



Velocità angolare dell'E-E



- ω è un vettore, ovvero un **elemento di uno spazio vettoriale**: si può ottenere come somma dei contributi $\omega_1, \dots, \omega_n$ (in qualsiasi ordine)
- viceversa, ϕ (e $d\phi/dt$) **non** è un elemento di uno spazio vettoriale: la rappresentazione di rotazioni successive, in generale, non si ottiene sommando gli angoli ϕ corrispondenti

$$\omega \neq d\phi/dt \quad \text{in generale}$$



Moti infinitesimi

- **traslazioni** (spostamenti lineari) infinitesime

commutano sempre,
anche se finite $\rightarrow dp = J_L(q) dq$

- **rotazioni** infinitesime $R(d\phi) = R(d\phi_X, d\phi_Y, d\phi_Z)$

$$\begin{aligned} R_X(\phi_X) &= \begin{bmatrix} 1 & 0 & 0 \\ 0 & \cos \phi_X & -\sin \phi_X \\ 0 & \sin \phi_X & \cos \phi_X \end{bmatrix} \iff R_X(d\phi_X) = \begin{bmatrix} 1 & 0 & 0 \\ 0 & 1 & -d\phi_X \\ 0 & d\phi_X & 1 \end{bmatrix} \\ R_Y(\phi_Y) &= \begin{bmatrix} \cos \phi_Y & 0 & \sin \phi_Y \\ 0 & 1 & 0 \\ -\sin \phi_Y & 0 & \cos \phi_Y \end{bmatrix} \iff R_Y(d\phi_Y) = \begin{bmatrix} 1 & 0 & d\phi_Y \\ 0 & 1 & 0 \\ -d\phi_Y & 0 & 1 \end{bmatrix} \\ R_Z(\phi_Z) &= \begin{bmatrix} \cos \phi_Z & -\sin \phi_Z & 0 \\ \sin \phi_Z & \cos \phi_Z & 0 \\ 0 & 0 & 1 \end{bmatrix} \iff R_Z(d\phi_Z) = \begin{bmatrix} 1 & -d\phi_Z & 0 \\ d\phi_Z & 1 & 0 \\ 0 & 0 & 1 \end{bmatrix} \end{aligned}$$

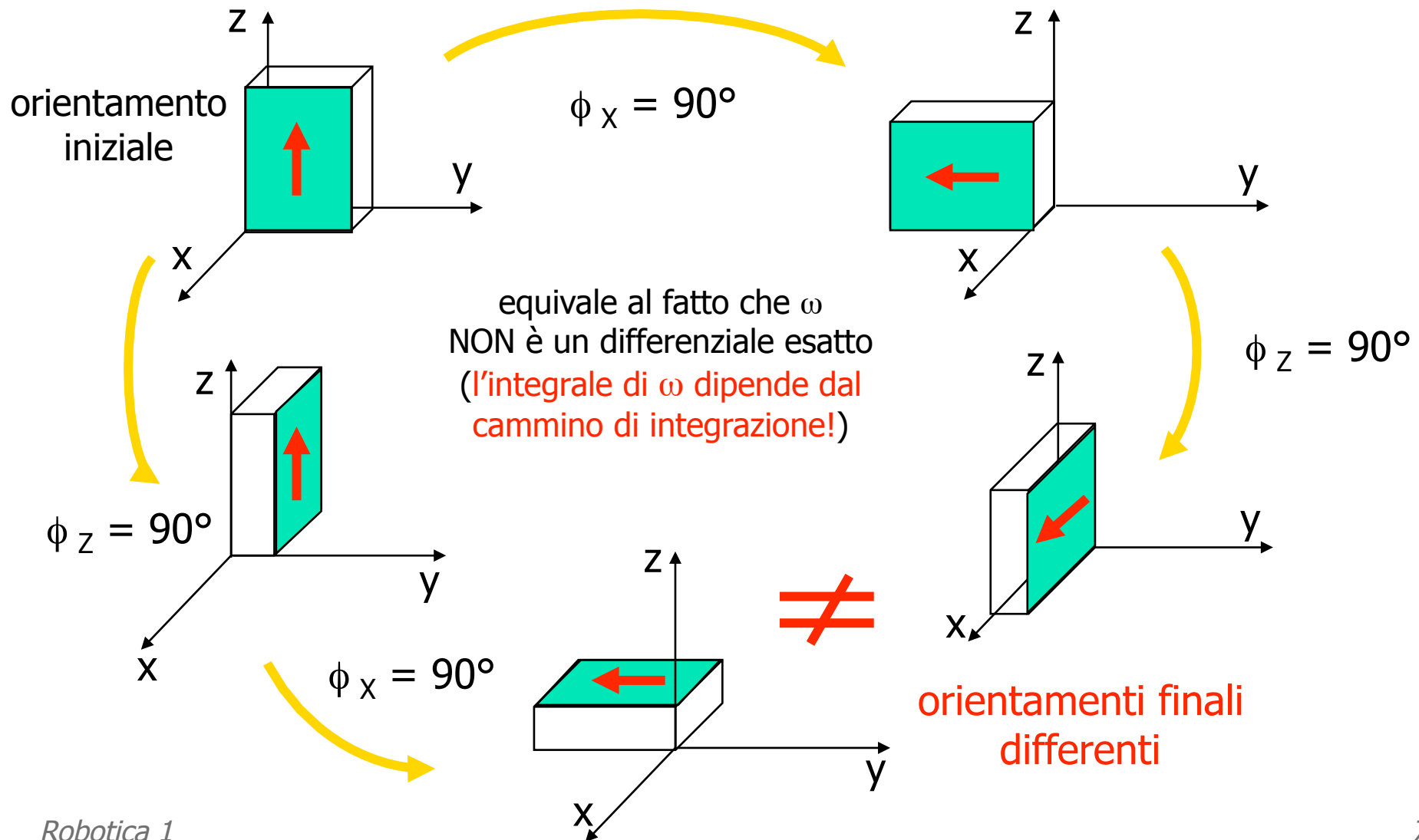


Rotazioni infinitesime

- $R(d\phi) = R(d\phi_X, d\phi_Y, d\phi_Z) = \begin{bmatrix} 1 & -d\phi_Z & d\phi_Y \\ d\phi_Z & 1 & -d\phi_X \\ -d\phi_Y & d\phi_X & 1 \end{bmatrix}$
in **qualsiasi** ordine
 $= I + S(d\phi)$
- rotazioni infinitesime commutano sempre
- rotazioni finite commutano solo se effettuate intorno allo stesso asse fisso



Esempio di rotazioni finite





Derivata temporale di R

- sia $R = R(t)$ una matrice di rotazione funzione del tempo
- poiché $I = R(t)R^T(t)$, derivando entrambi i membri
$$0 = d[R(t)R^T(t)]/dt = dR(t)/dt R^T(t) + R(t) dR^T(t)/dt$$
$$= dR(t)/dt R^T(t) + [dR(t)/dt R^T(t)]^T$$
da cui $dR(t)/dt R^T(t) = S(t)$ è una matrice **antisimmetrica**
- sia $p(t) = R(t)p'$ un vettore (di modulo costante) ruotato nel tempo
- dal confronto
$$dp(t)/dt = dR(t)/dt p' = S(t)R(t) p' = S(t) p(t)$$
$$dp(t)/dt = \omega(t) \times p(t) = S(\omega(t)) p(t)$$
si ha $S = S(\omega)$

$$\boxed{\dot{R} = S(\omega) R} \quad \longleftrightarrow \quad \boxed{S(\omega) = \dot{R} R^T}$$

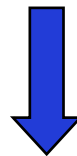


Derivata di rotazione elementare

$$R_X(\phi(t)) = \begin{bmatrix} 1 & 0 & 0 \\ 0 & \cos \phi(t) & -\sin \phi(t) \\ 0 & \sin \phi(t) & \cos \phi(t) \end{bmatrix}$$

$$\dot{R}_X(\phi) R_X^T(\phi) = \dot{\phi} \begin{bmatrix} 0 & 0 & 0 \\ 0 & -\sin \phi & -\cos \phi \\ 0 & \cos \phi & -\sin \phi \end{bmatrix} \begin{bmatrix} 1 & 0 & 0 \\ 0 & \cos \phi & \sin \phi \\ 0 & -\sin \phi & \cos \phi \end{bmatrix}$$

$$= \begin{bmatrix} 0 & 0 & 0 \\ 0 & 0 & -\dot{\phi} \\ 0 & \dot{\phi} & 0 \end{bmatrix} = S(\omega)$$

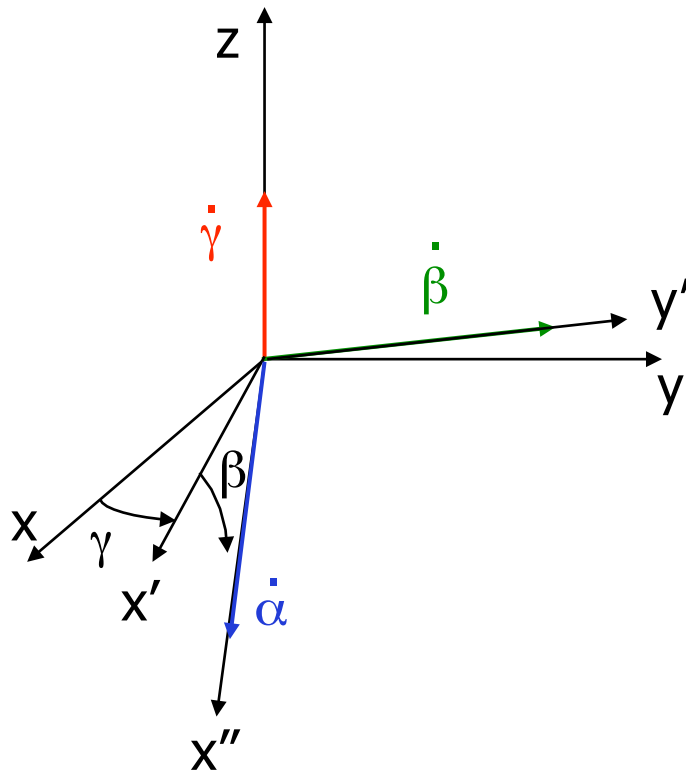


$$\omega = \begin{bmatrix} \dot{\phi} \\ 0 \\ 0 \end{bmatrix}$$



Relazione tra derivata angoli RPY e ω

$$R_{RPY}(\alpha_x, \beta_y, \gamma_z) = R_{ZY'X''}(\gamma_z, \beta_y, \alpha_x)$$



$$\omega = \begin{matrix} & \overbrace{\begin{matrix} c\beta & c\gamma & -s\gamma & 0 \\ c\beta & s\gamma & c\gamma & 0 \\ -s\beta & 0 & 0 & 1 \end{matrix}}^{T_{RPY}(\beta, \gamma)} & \begin{bmatrix} \dot{\alpha} \\ \dot{\beta} \\ \dot{\gamma} \end{bmatrix} \\ \begin{matrix} x'' & y' & z \end{matrix} & \begin{matrix} \uparrow & \uparrow & \\ 1a \text{ col in} & 2a \text{ col in} & \\ R_{ZY'}(\gamma_z, \beta_y) & R_Z(\gamma_z) & \end{matrix} \end{matrix}$$

$\det T_{RPY}(\beta, \gamma) = c\beta = 0$
 per $\beta = \pm\pi/2$
 (singolarità della rappresentazione RPY)

N.B. la trattazione è analoga per gli altri 11 set di rappresentazioni minimali



Matrici Jacobiane

- Jacobiano **analitico** (ottenuto per **differenziazione**)

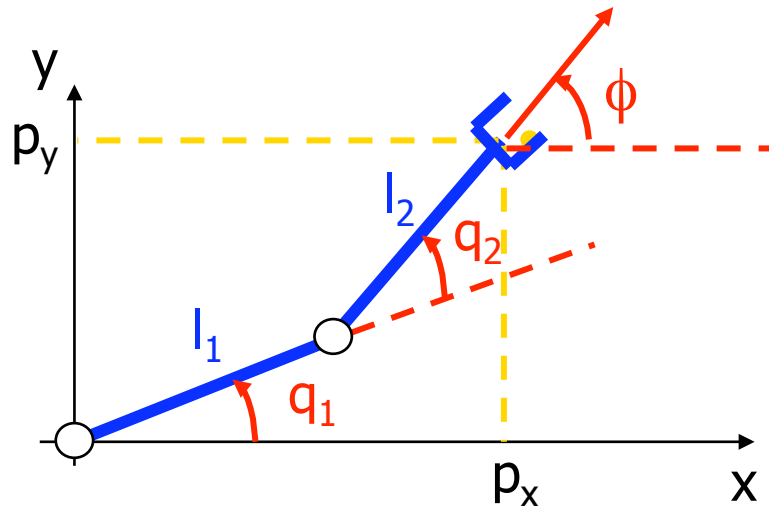
$$\mathbf{r} = f_r(\mathbf{q}) = \begin{pmatrix} \mathbf{p} \\ \phi \end{pmatrix} \quad \longrightarrow \quad \dot{\mathbf{r}} = J_r(\mathbf{q}) \dot{\mathbf{q}} = \frac{\partial f_r(\mathbf{q})}{\partial \mathbf{q}} \dot{\mathbf{q}}$$

- Jacobiano **geometrico** (**nessuna** derivata)

$$\begin{pmatrix} \mathbf{v} \\ \boldsymbol{\omega} \end{pmatrix} = \begin{pmatrix} \dot{\mathbf{p}} \\ \dot{\boldsymbol{\omega}} \end{pmatrix} = J(\mathbf{q}) \dot{\mathbf{q}} = \begin{pmatrix} J_L(\mathbf{q}) \\ J_A(\mathbf{q}) \end{pmatrix} \dot{\mathbf{q}}$$



Jacobiano analitico robot 2R planare



cinematica diretta

$$r \left\{ \begin{array}{l} p_x = l_1 c_1 + l_2 c_{12} \\ p_y = l_1 s_1 + l_2 s_{12} \\ \phi = q_1 + q_2 \end{array} \right.$$

$$\dot{p}_x = -l_1 s_1 \dot{q}_1 - l_2 s_{12} (\dot{q}_1 + \dot{q}_2)$$

$$\dot{p}_y = l_1 c_1 \dot{q}_1 + l_2 c_{12} (\dot{q}_1 + \dot{q}_2)$$

$$\dot{\phi} = \omega_z = \dot{q}_1 + \dot{q}_2$$

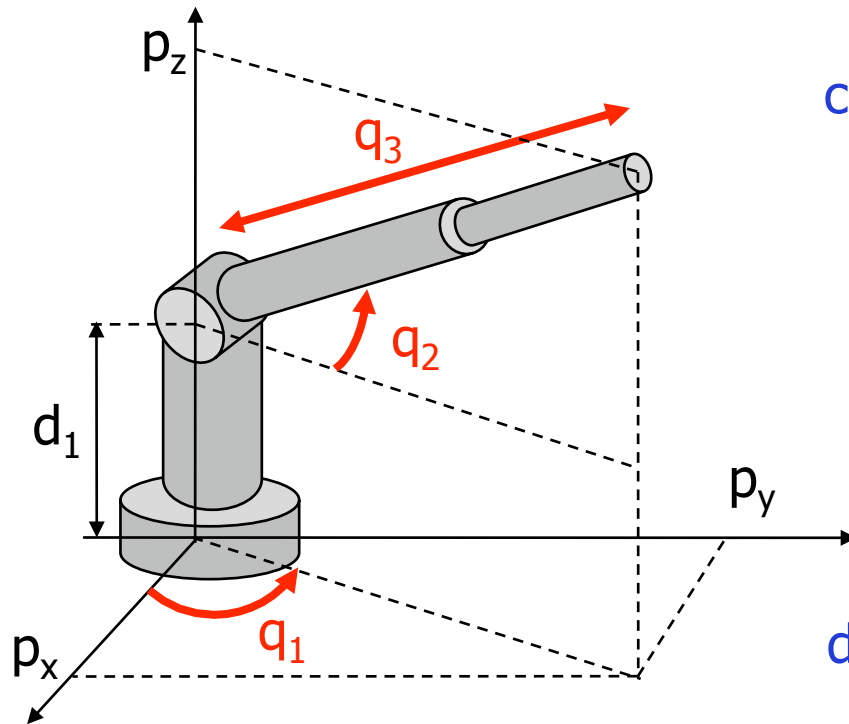
$$J_r(q) = \left(\begin{array}{cc|cc} -l_1 s_1 - l_2 s_{12} & -l_2 s_{12} & & \\ l_1 c_1 + l_2 c_{12} & l_2 c_{12} & & \\ \hline 1 & 1 & & \end{array} \right) \left. \begin{array}{l} \\ \\ \end{array} \right\} \begin{array}{l} J_L(q) \\ J_A(q) \end{array}$$

data r , qui è una matrice 3×2

Jacobiano analitico = geometrico



Jacobiano analitico robot polare



cinematica diretta (qui solo $r = p$)

$$p_x = q_3 c_2 c_1$$

$$p_y = q_3 c_2 s_1$$

$$p_z = d_1 + q_3 s_2$$

differenziando rispetto al tempo

$$v = \dot{p} = \begin{pmatrix} -q_3 c_2 s_1 & -q_3 s_2 c_1 & c_2 c_1 \\ q_3 c_2 c_1 & -q_3 s_2 s_1 & c_2 s_1 \\ 0 & q_3 c_2 & s_2 \end{pmatrix} \dot{q} = J_r(q) \dot{q}$$



Jacobiano geometrico

è sempre una matrice $6 \times n$

velocità
istantanee
dell'E-E

$$\begin{pmatrix} v_E \\ \omega_E \end{pmatrix} = \begin{pmatrix} J_L(q) \\ J_A(q) \end{pmatrix} \dot{q} = \begin{pmatrix} J_{L1}(q) & \dots & J_{Ln}(q) \\ J_{A1}(q) & \dots & J_{An}(q) \end{pmatrix} \begin{pmatrix} \dot{q}_1 \\ \vdots \\ \dot{q}_n \end{pmatrix}$$

sovrapposizione degli effetti

$$v_E = J_{L1}(q) \dot{q}_1 + \dots + J_{Ln}(q) \dot{q}_n$$

$$\omega_E = J_{A1}(q) \dot{q}_1 + \dots + J_{An}(q) \dot{q}_n$$

contributo alla velocità
lineare dell'E-E dovuto a \dot{q}_1

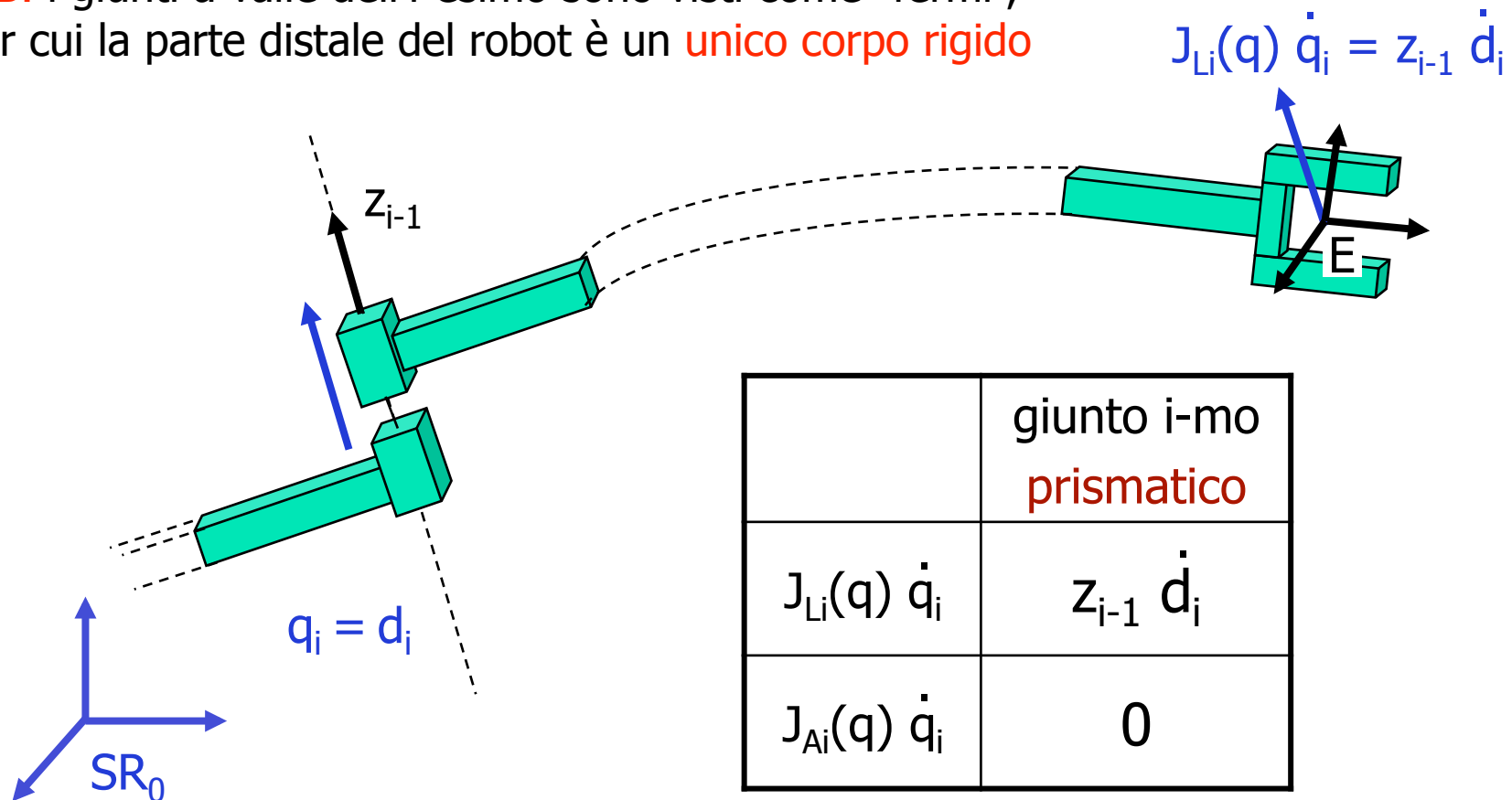
contributo alla velocità
angolare dell'E-E dovuto a \dot{q}_1

velocità lineare e angolare appartengono
a spazi vettoriali (lineari) in \mathbb{R}^3



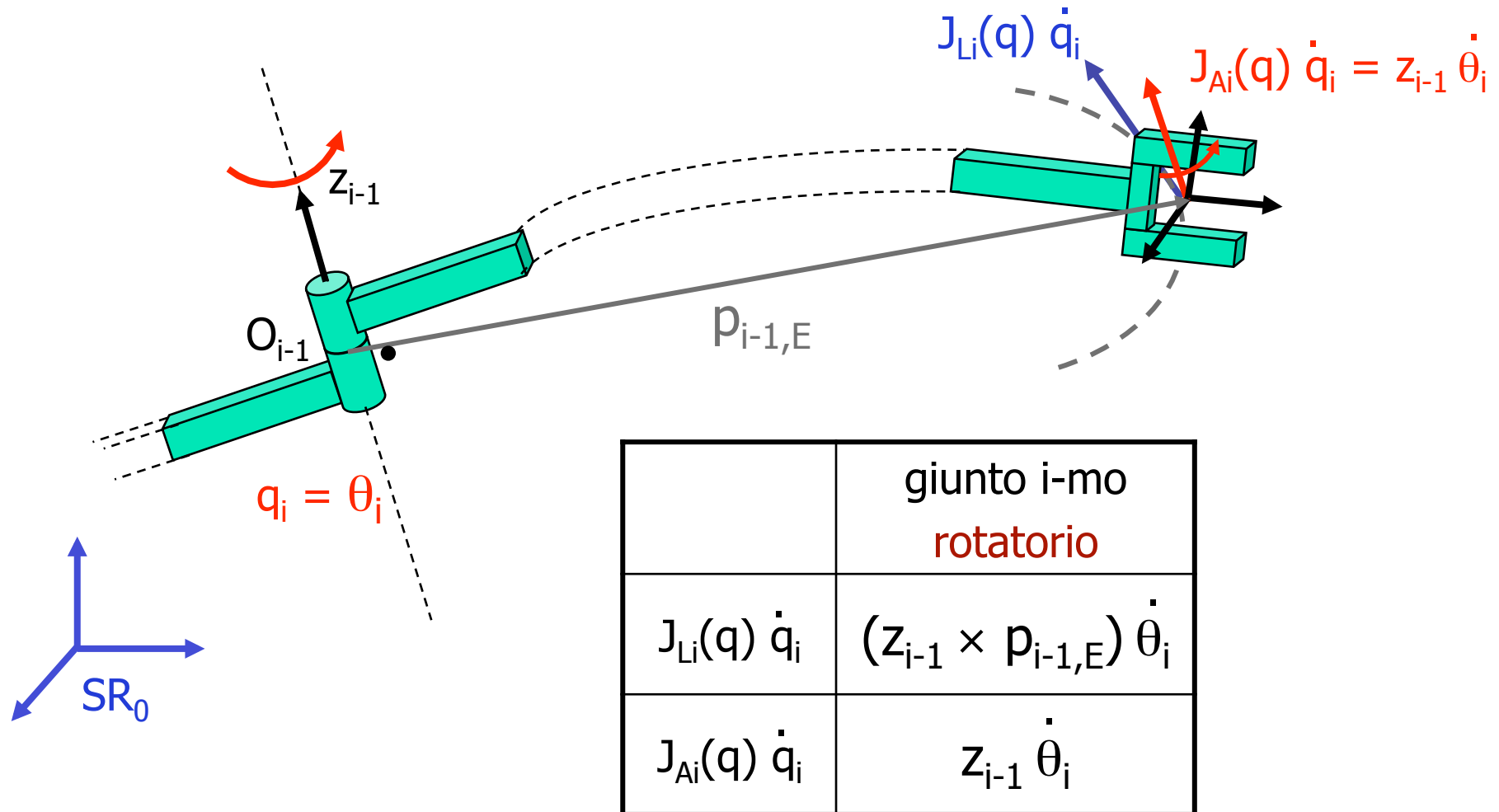
Contributo giunto prismatico

N.B. i giunti a valle dell'*i*-esimo sono visti come "fermi",
per cui la parte distale del robot è un **unico corpo rigido**





Contributo giunto rotatorio





Forma finale Jacobiano geometrico

$$\begin{pmatrix} \dot{p}_{0,E} \\ \omega_E \end{pmatrix} = \begin{pmatrix} v_E \\ \omega_E \end{pmatrix} = \begin{pmatrix} J_L(q) \\ J_A(q) \end{pmatrix} \dot{q} = \begin{pmatrix} J_{L1}(q) & \cdots & J_{Ln}(q) \\ J_{A1}(q) & \cdots & J_{An}(q) \end{pmatrix} \begin{pmatrix} \dot{q}_1 \\ \vdots \\ \dot{q}_n \end{pmatrix}$$

	giunto i-mo prismatico	giunto i-mo rotatorio
$J_{Li}(q)$	z_{i-1}	$z_{i-1} \times p_{i-1,E}$
$J_{Ai}(q)$	0	z_{i-1}

$$\frac{\partial p_{0,E}}{\partial q_i}$$

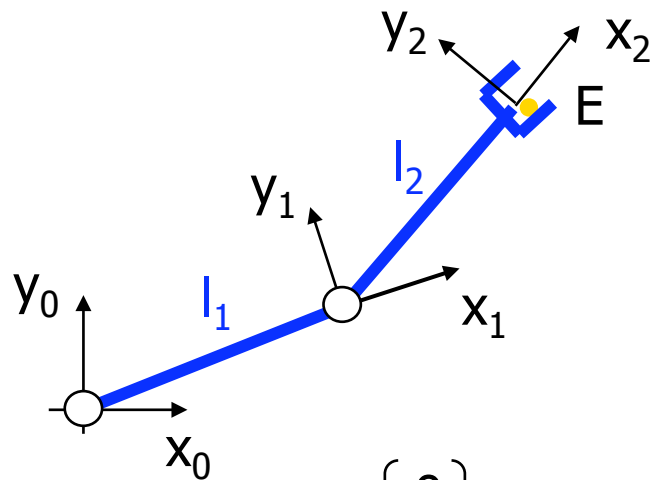
$$z_{i-1} = {}^0R_1(q_1) \cdots {}^{i-2}R_{i-1}(q_{i-1}) \begin{pmatrix} 0 \\ 0 \\ 1 \end{pmatrix}$$

$$p_{i-1,E} = p_{0,E}(q_1, \dots, q_n) - p_{0,i-1}(q_1, \dots, q_{i-1})$$

tutti i vettori sono espressi nelle stesse coordinate (quelle della **base** SR_0)



Esempio: robot 2R planare



$$z_0 = z_1 = z_2 = \begin{bmatrix} 0 \\ 0 \\ 1 \end{bmatrix}$$

$$J = \begin{bmatrix} z_0 \times p_{0,E} & z_1 \times p_{1,E} \\ z_0 & z_1 \end{bmatrix}$$

Tabella di DENAVIT-HARTENBERG

giunto	α_i	d_i	a_i	θ_i
1	0	0	l_1	q_1
2	0	0	l_2	q_2

$${}^0A_1 = \begin{pmatrix} c_1 & -s_1 & 0 & l_1 c_1 \\ s_1 & c_1 & 0 & l_1 s_1 \\ 0 & 0 & 1 & 0 \\ 0 & 0 & 0 & 1 \end{pmatrix}$$

← $p_{0,1}$

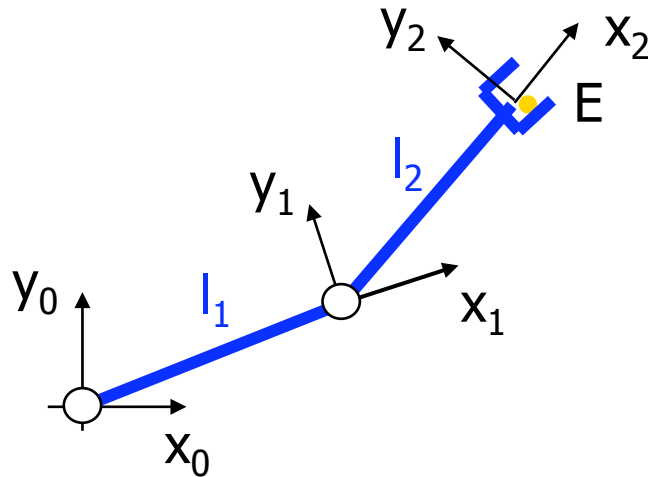
$$p_{1,E} = p_{0,E} - p_{0,1}$$

$${}^0A_2 = \begin{pmatrix} c_{12} & -s_{12} & 0 & l_1 c_1 + l_2 c_{12} \\ s_{12} & c_{12} & 0 & l_1 s_1 + l_2 s_{12} \\ 0 & 0 & 1 & 0 \\ 0 & 0 & 0 & 1 \end{pmatrix}$$

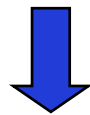
← $p_{0,E}$



Jacobiano geometrico robot 2R planare



N.B. lo Jacobiano è qui una matrice 6×2 , quindi di **rango massimo** pari a **2**



al **massimo 2** delle componenti di velocità dell'E-E sono comandabili in modo **indipendente**

$$J = \begin{bmatrix} z_0 \times p_{0,E} & z_1 \times p_{1,E} \\ z_0 & z_1 \end{bmatrix}$$
$$= \begin{bmatrix} -l_1 s_1 - l_2 s_{12} & -l_2 s_{12} \\ l_1 c_1 + l_2 c_{12} & l_2 c_{12} \\ 0 & 0 \\ 0 & 0 \\ 0 & 0 \\ 1 & 1 \end{bmatrix}$$



Trasformazioni su Jacobiano geometrico

b) potrebbe essere $E \Rightarrow O_j(q)$

quella già calcolata ...

$$\begin{bmatrix} {}^0v_n \\ {}^0\omega \end{bmatrix} = {}^0J_n(q) \dot{q}$$

$$\begin{aligned} v_E &= v_n + \omega \times r_{nE} \\ &= v_n + S(r_{En}) \omega \end{aligned}$$

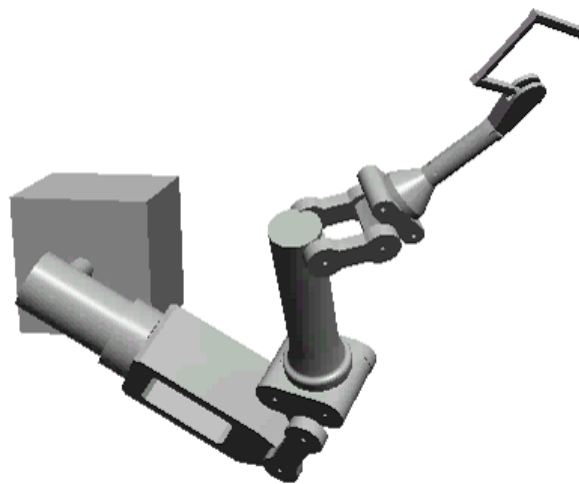
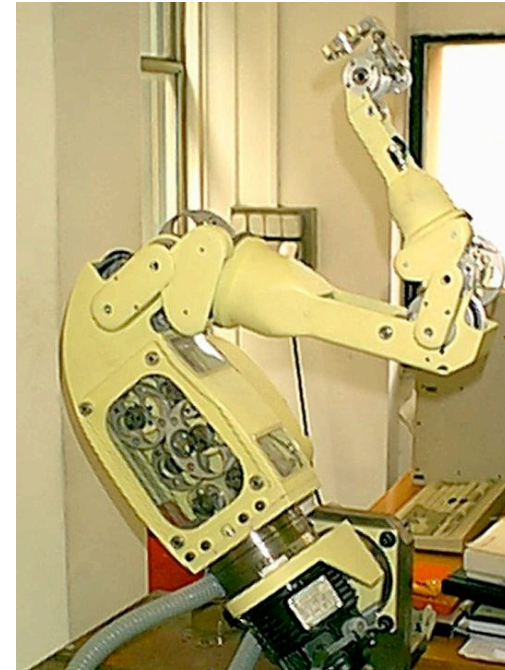
$$\begin{bmatrix} {}^Bv_E \\ {}^B\omega \end{bmatrix} = \begin{bmatrix} {}^BR_0 & 0 \\ 0 & {}^BR_0 \end{bmatrix} \begin{bmatrix} I & S({}^0r_{En}) \\ 0 & I \end{bmatrix} \begin{bmatrix} {}^0v_n \\ {}^0\omega \end{bmatrix}$$

$$= \underbrace{\begin{bmatrix} {}^BR_0(q) & 0 \\ 0 & {}^BR_0(q) \end{bmatrix} \begin{bmatrix} I & S({}^0r_{En}(q)) \\ 0 & I \end{bmatrix}}_{\text{mai singolari!}} {}^0J_n(q) \dot{q} = {}^BJ_E(q) \dot{q}$$

a) potrebbe essere $SR_B \Rightarrow SR_i(q)$

Esempio: Robot Dexter

- braccio manipolatore 8R con trasmissioni a cavi d'acciaio e pulegge (giunti dal 3 all'8)
 - solo circa 15 kg in movimento
 - motori alloggiati nel secondo braccio
 - encoder incrementali (homing)
 - **ridondanza cinematica** (grado $n-m=2$)
 - cedevolezza nella interazione



i	a (mm)	d (mm)	α (rad)	range θ (deg)
0	0	0	$-\pi/2$	[-12.56, 179.89]
1	144	450	$-\pi/2$	[-83, 84]
2	0	0	$\pi/2$	[7, 173]
3	100	350	$\pi/2$	[65, 295]
4	0	0	$-\pi/2$	[-174, -3]
5	24	250	$-\pi/2$	[57, 265]
6	0	0	$-\pi/2$	[-129.99, -45]
7	100	0	π	[-55.05, 30]



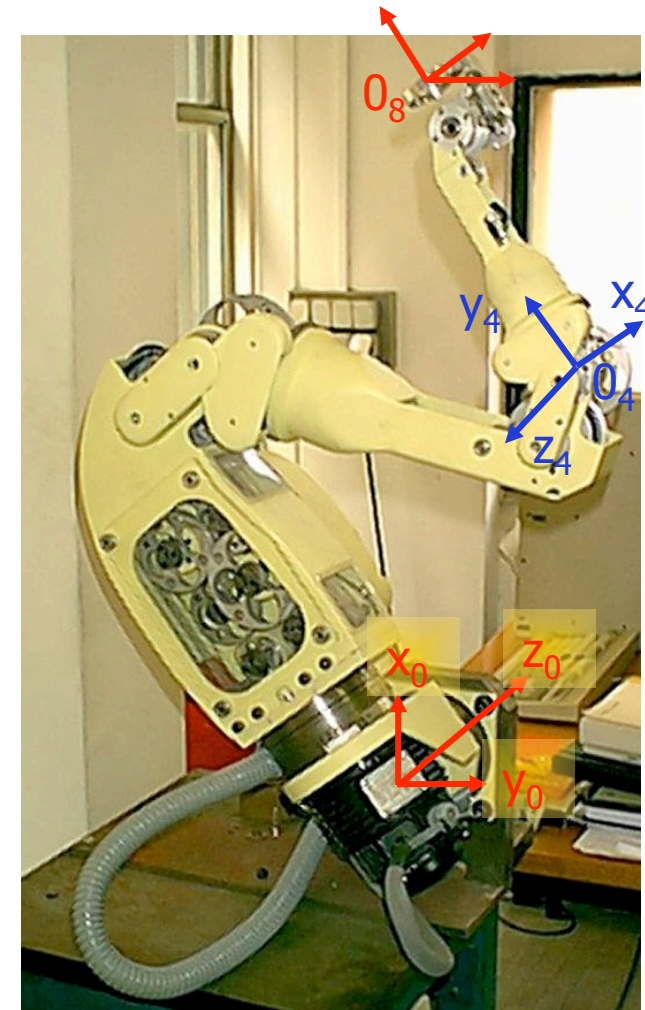
Jacobiano mid-frame del robot Dexter

- Jacobiano geometrico ${}^0J_8(q)$ molto complesso
- Jacobiano "mid-frame" ${}^4J_4(q)$ relativamente semplice!

$${}^4\hat{J}_4 = \begin{bmatrix} d_1 s_1 s_3 + d_3 s_3 c_2 s_1 - a_1 c_3 c_1 s_2 - d_1 c_3 c_1 c_2 - d_3 c_1 c_3 \\ -a_3 s_3 c_2 s_1 + a_3 c_3 c_1 + a_1 c_1 c_2 - d_1 c_1 s_2 \\ -d_3 c_3 c_2 s_1 - a_1 s_3 c_1 s_2 - d_1 s_3 c_1 c_2 - d_3 s_3 c_1 - d_1 s_1 c_3 + a_3 s_2 s_1 \\ -c_3 c_2 s_1 - s_3 c_1 \\ -s_2 s_1 \\ -s_3 c_2 s_1 + c_3 c_1 \end{bmatrix}$$

6 righe,
8 colonne

$$\begin{bmatrix} a_1 s_3 + d_3 s_3 s_2 & d_3 c_3 & 0 & 0 & 0 \\ -a_3 s_3 s_2 & -a_3 c_3 & 0 & 0 & 0 \\ -a_1 c_3 - d_3 c_3 s_2 - a_3 c_2 & d_3 s_3 & -a_3 & 0 & 0 \\ -c_3 s_2 & s_3 & 0 & 0 & -s_4 \\ c_2 & 0 & 1 & 0 & c_4 \\ -s_3 s_2 & -c_3 & 0 & 1 & 0 \\ -a_5 s_4 - d_5 c_5 c_4 & -a_5 s_5 c_4 c_6 + d_5 s_5 s_6 c_4 \\ -d_5 c_5 s_4 + a_5 c_4 & d_5 s_5 s_6 s_4 - a_5 s_5 s_4 c_6 \\ d_5 s_5 & -a_5 c_6 c_6 + d_5 c_5 s_6 \\ -c_4 s_6 & -c_4 c_5 s_6 + s_4 c_6 \\ -s_4 s_6 & -s_4 c_5 s_6 - c_4 c_6 \\ -c_5 & s_5 s_6 \end{bmatrix}$$





Relazioni tra espressioni differenziali

$$\dot{p} \Leftrightarrow v \quad \dot{p} = v$$

$$\dot{\phi} \Leftrightarrow \omega \quad \omega = \omega_{\phi_1} \dot{\phi}_1 + \omega_{\phi_2} \dot{\phi}_2 + \omega_{\phi_3} \dot{\phi}_3 = a_1 \dot{\phi}_1 + a_2(\phi_1) \dot{\phi}_2 + a_3(\phi_1, \phi_2) \dot{\phi}_3 = T(\phi) \dot{\phi}$$

assi intorno ai quali è definita la sequenza di rotazioni ϕ_i

$$r = \begin{pmatrix} p \\ \phi \end{pmatrix} \Rightarrow J(q) = \begin{pmatrix} I & 0 \\ 0 & T(\phi) \end{pmatrix} J_r(q) \quad J_r(q) = \begin{pmatrix} I & 0 \\ 0 & T^{-1}(\phi) \end{pmatrix} J(q)$$

$T(\phi)$ ha sempre una singolarità \Leftrightarrow singolarità della particolare rappresentazione minima dell'orientamento

$$\dot{R} \Leftrightarrow \omega$$

$$\dot{R} = S(\omega) R \iff \text{per ogni colonna } r_i \text{ di } R \text{ (versore di una terna ortonormale) risulta infatti}$$
$$\dot{r}_i = \omega \times r_i$$

Legami in accelerazione (e oltre ...)

Cinematica differenziale di ordine superiore



- i legami differenziali tra moto nello spazio dei giunti e moto nello spazio operativo si estendono al secondo ordine, terzo ordine, e via dicendo
- lo Jacobiano analitico “pesa” sempre le derivate di ordine massimo



velocità

$$\dot{\mathbf{r}} = \mathbf{J}_r(\mathbf{q}) \dot{\mathbf{q}}$$

funzione matriciale $\mathbf{N}_2(\mathbf{q}, \dot{\mathbf{q}})$

accelerazione

$$\ddot{\mathbf{r}} = \mathbf{J}_r(\mathbf{q}) \ddot{\mathbf{q}} + \dot{\mathbf{J}}_r(\mathbf{q}) \dot{\mathbf{q}}$$

jerk

$$\dddot{\mathbf{r}} = \mathbf{J}_r(\mathbf{q}) \dddot{\mathbf{q}} + 2 \dot{\mathbf{J}}_r(\mathbf{q}) \ddot{\mathbf{q}} + \ddot{\mathbf{J}}_r(\mathbf{q}) \dot{\mathbf{q}}$$

funzione matriciale $\mathbf{N}_3(\mathbf{q}, \dot{\mathbf{q}}, \ddot{\mathbf{q}})$

snap

$$\ddddot{\mathbf{r}} = \mathbf{J}_r(\mathbf{q}) \ddddot{\mathbf{q}} + \dots$$

- in modo analogo, si può procedere con lo Jacobiano geometrico



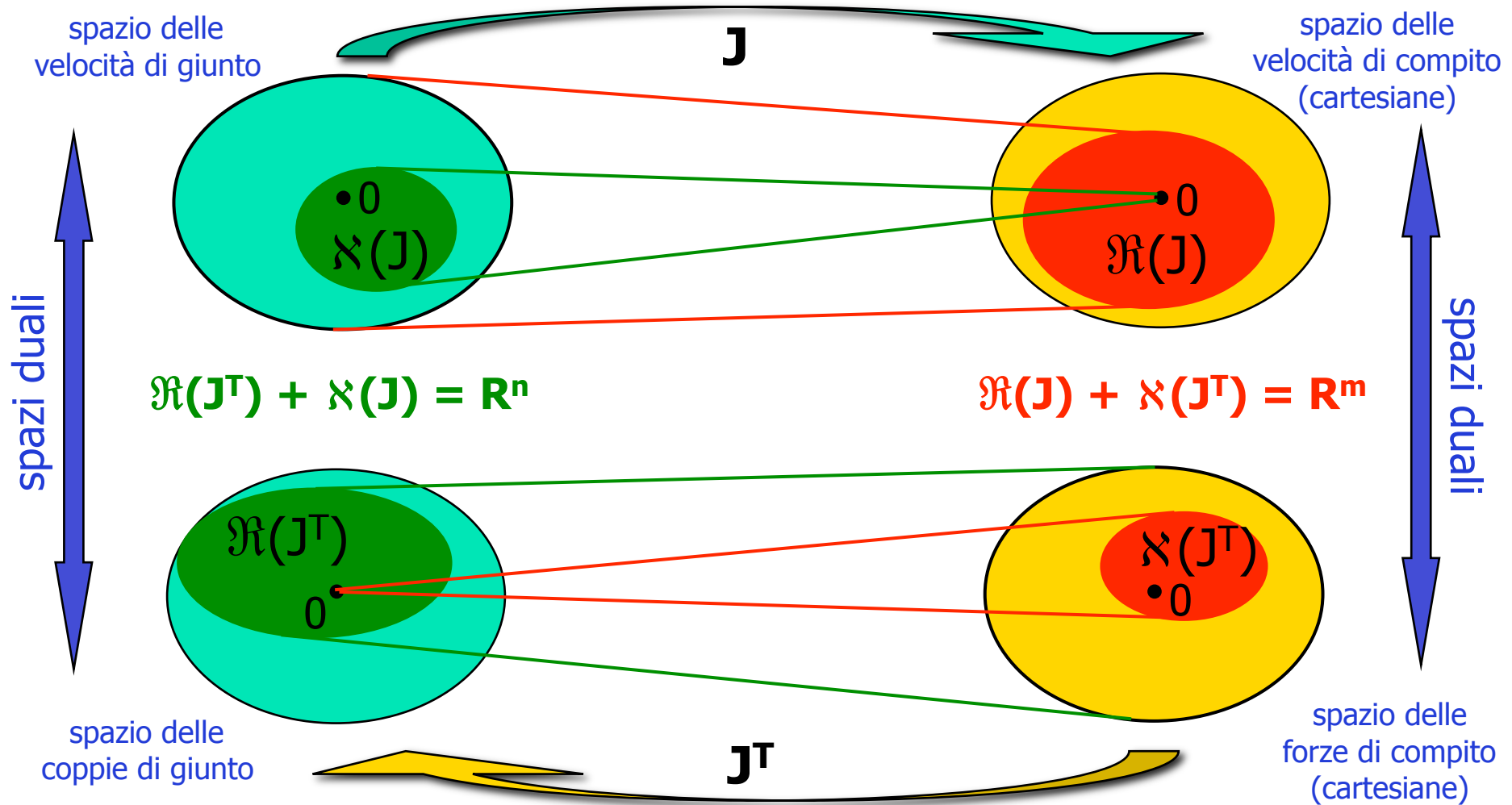
Richiami di algebra lineare

data una matrice J : $m \times n$ (m righe, n colonne)

- **rango** $\rho(J) = \max \#$ di righe o colonne linearmente indipendenti
 - $\rho(J) \leq \min(m, n)$ (se vale l'uguale, J ha "rango pieno")
 - se $m = n$ e J ha rango pieno, J è "non singolare" e l'inversa J^{-1} è definita
 - $\rho(J) =$ dimensione della più grande sottomatrice quadrata non singolare di J
- **immagine** $\mathfrak{R}(J) =$ spazio vettoriale generato da tutte le combinazioni lineari delle colonne di J
$$\mathfrak{R}(J) = \{v \in \mathbb{R}^m : \exists \xi \in \mathbb{R}^n, v = J\xi\}$$
 - dimensione $\dim(\mathfrak{R}(J)) = \rho(J)$
- **nucleo** $\mathfrak{N}(J) =$ spazio vettoriale di tutti i vettori $\xi \in \mathbb{R}^n$ tali che $J \cdot \xi = 0$
 - $\dim(\mathfrak{N}(J)) = n - \rho(J)$
- $\mathfrak{R}(J) + \mathfrak{N}(J^T) = \mathbb{R}^m$ e $\mathfrak{R}(J^T) + \mathfrak{N}(J) = \mathbb{R}^n$
 - somma di spazi vettoriali $V_1 + V_2 =$ spazio vettoriale di tutti i vettori v che possono scriversi come $v = v_1 + v_2$, con $v_1 \in V_1, v_2 \in V_2$



Jacobiano del robot: decomposizione in sottospazi lineari di interesse e dualità





Jacobiano e analisi della mobilità

- $\rho(J) = \rho(J(q))$, $\mathfrak{R}(J) = \mathfrak{R}(J(q))$, $\aleph(J^T) = \aleph(J^T(q))$ sono definiti **localmente**, cioè dipendono dalla configurazione q
- $\mathfrak{R}(J(q)) =$ spazio delle velocità "generalizzate" (cioè con componenti lineari e/o angolari) che possono essere assunte (**istantaneamente** a partire dalla configurazione q) dall'end-effector al variare delle velocità di giunto
- se $J(q)$ ha **rango massimo** (in genere $= m$), nella configurazione q il robot può muovere il suo end-effector in tutte le direzioni dello spazio operativo R^m
- se $\rho(J(q)) < m$, esistono direzioni di R^m in cui l'E-E non può muoversi, [sono le direzioni in $\aleph(J^T)$, ovvero il complemento di $\mathfrak{R}(J(q))$ rispetto allo spazio operativo, di dimensione $m - \rho(J(q))$]
- se $\aleph(J(q)) \neq \{0\}$ (**sempre** se $m < n$, ossia nei robot ridondanti), esistono velocità di giunto che non forniscono velocità all'E-E ("**automovimenti**")

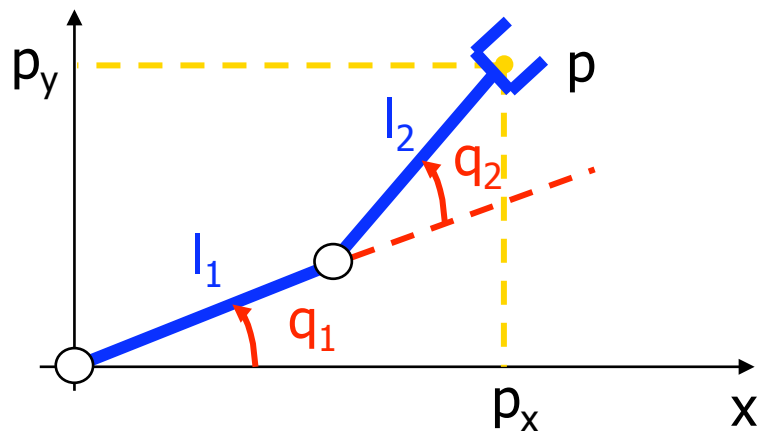


Singularità cinematiche

- **sono configurazioni in cui si ha caduta di rango dello Jacobiano**
⇔ perdita di mobilità dell'E-E del robot
- corrispondono in generale a configurazioni nelle quali il numero di soluzioni della cinematica inversa non è quello "generico"
- in tali configurazioni **non è possibile invertire la cinematica differenziale**, ovvero trovare velocità di giunto che realizzino una **arbitraria** velocità dell'organo terminale del robot
- "vicino" ad una singolarità potrebbero essere necessarie **velocità di giunto elevate** per ottenere una velocità anche bassa dell'E-E
- conoscere le singolarità aiuta ad **evitarle** nella pianificazione e nel controllo del moto
- se $m = n$, bisogna trovare le configurazioni q in cui **$\det J(q) = 0$**
- se $m < n$, le singolarità sono le configurazioni q in cui tutte le sottomatrici $m \times m$ di J sono singolari (caduta di rango della matrice)
- il calcolo delle singolarità può essere **oneroso** computazionalmente



Singularità del robot 2R planare



cinematica diretta

$$p_x = l_1 c_1 + l_2 c_{12}$$

$$p_y = l_1 s_1 + l_2 s_{12}$$

Jacobiano analitico

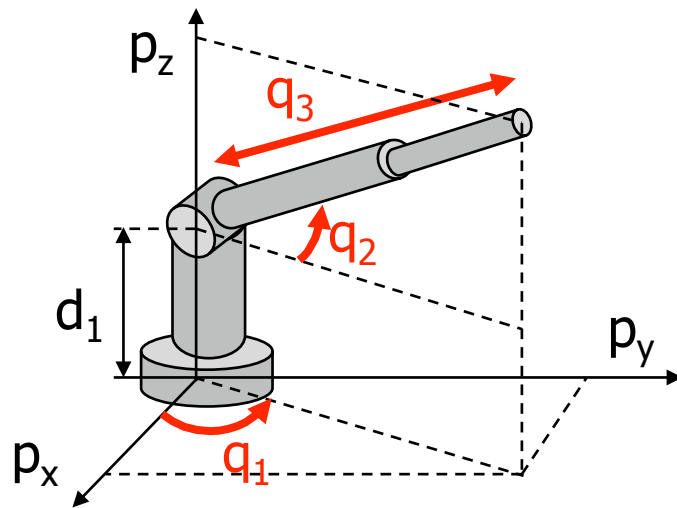
$$\dot{p} = \begin{bmatrix} -l_1 s_1 - l_2 s_{12} & -l_2 s_{12} \\ l_1 c_1 + l_2 c_{12} & l_2 c_{12} \end{bmatrix} \dot{q} = J(q) \dot{q}$$

$$\det J(q) = l_1 l_2 s_2$$

- **singularità**: braccio steso ($q_2=0$) e ripiegato ($q_2=\pi$)
- sono sulla frontiera del workspace e separano le zone con soluzioni cinematiche inverse distinte ("elbow up" o "down")



Singularità del robot polare (RRP)



$$\det J(q) = q_3^2 c_2$$

cinematica diretta

$$p_x = q_3 c_2 c_1$$

$$p_y = q_3 c_2 s_1$$

$$p_z = d_1 + q_3 s_2$$

Jacobiano analitico

$$\dot{p} = \begin{pmatrix} -q_3 s_1 c_2 & -q_3 c_1 s_2 & c_1 c_2 \\ -q_3 c_1 c_2 & -q_3 s_1 s_2 & s_1 c_2 \\ 0 & q_3 c_2 & s_2 \end{pmatrix} \dot{q} = J(q) \dot{q}$$

- **singularità**: terzo braccio tutto ritratto ($q_3=0$) o disposto lungo l'asse z ($q_2 = \pm \pi/2$); se avvengono **entrambi**, il **rango di J** scende a **uno**
- tutte le configurazioni singolari corrispondono qui a punti cartesiani **interni** allo spazio di lavoro (in assenza di limiti per il giunto prismatico)



Singularità robot con polso sferico

- $n = 6$, ultimi tre assi rotatori e incidenti in un punto
- senza perdita di generalità si può porre $O_6 = W =$ **centro polso sferico** (ovvero con $d_6 = 0$)

$$J(q) = \begin{pmatrix} J_{11} & 0 \\ J_{21} & J_{22} \end{pmatrix}$$

- l'inversione della J è semplificata
- risulta $\det J(q_1, \dots, q_5) = \det J_{11} \cdot \det J_{22}$
 - $\det J_{11}(q_1, \dots, q_3) = 0$ fornisce le **singularità di struttura**
 - $\det J_{22}(q_1, \dots, q_5) = 0$ fornisce le **singularità di polso**
- poiché $J_{22} = [z_3 \ z_4 \ z_5]$, le singularità di polso corrispondono al caso di assi $z_3 \ z_4 \ z_5$ **linearmente dipendenti** $\Rightarrow q_5 = 0$ oppure $q_5 = \pm\pi/2$